

В. В. Кузнецов, О. Ю. Валиахметова, С. А. Бочкор

КОМПЬЮТЕРНОЕ МОДЕЛИРОВАНИЕ  
КОНФОРМАЦИОННОГО РАВНОВЕСИЯ  
2- И 2,5,5-ЗАМЕЩЕННЫХ 1,3,2-ДИОКСАБОРИНАНОВ

С помощью эмпирического, а также полуэмпирического и неэмпирических квантово-химических методов исследовано конформационное равновесие в ряду 2,5,5-замещенных 1,3,2-диоксаборинанов. Показано, что локальному и глобальному минимумам на поверхности потенциальной энергии соответствуют инвертомеры *софы*, положение равновесия между которыми определяется характером заместителей у атома C<sub>(5)</sub> гетероцикла.

**Ключевые слова:** 1,3,2-диоксаборинаны, циклические борные эфиры, конформеры, конформационное равновесие, поверхность потенциальной энергии, эмпирический, полуэмпирический и неэмпирические квантово-химические расчеты.

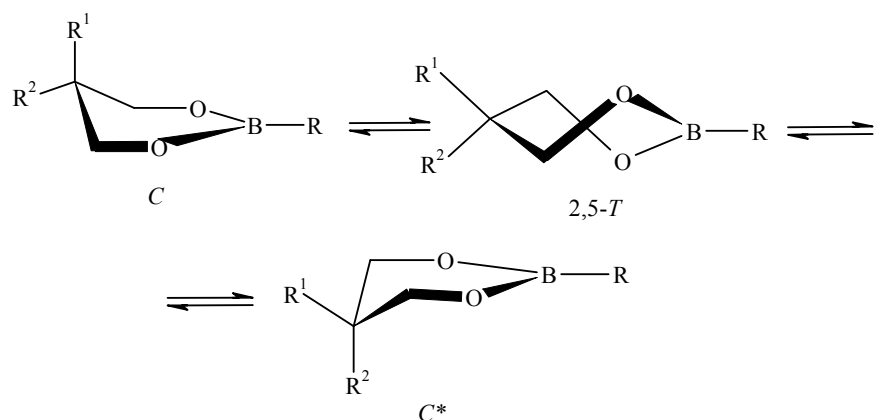
Интерес к циклическим эфирам борных кислот – 1,3-диокса-2-борациклоалканам – обусловлен все более возрастающим значением этих соединений в тонком органическом синтезе (получение энантиомерных спиртов и полиенов), комплексом практически полезных свойств (биологически активные вещества, ингибиторы коррозии, компоненты полимерных и горюче-смазочных материалов), а также особенностями строения (электронные и стерические внутримолекулярные взаимодействия) [1–14]. Последнее в немалой степени обусловлено присутствием электронодонорных атома бора и электронодонорных атомов кислорода в одной молекуле [4, 10, 11, 13].

Известно, что молекулы 2-алкил-(либо 2-аллокси)-5,5-диметил-1,3,2-диоксаборинанов при комнатной температуре пребывают в состоянии быстрой в шкале времени ЯМР инверсии кольца с относительно низким барьером [1, 4, 15–18]. Ранее методом ЯМР <sup>1</sup>H было показано определяющее влияние заместителей у атома C-5 кольца на характер конформационного равновесия молекул 2,5,5-замещенных 1,3,2-диоксаборинанов [1, 4, 18].

С целью углубленного изучения влияния структурных факторов на этот процесс нами в рамках эмпирического (MM+), полуэмпирического (AM1) и неэмпирических [RHF//STO-3G, 3-21G, 6-31G, 6-31G(d), 6-31G(d,p)] расчетных методов при использовании компьютерного пакета программ HyperChem [19] исследованы поверхности потенциальной энергии (ППЭ) молекул незамещенного 1,3,2-диоксаборинана (**1**), а также 2- и 2,5,5-замещенных аналогов **2–28**.

ППЭ молекул эфира **1** и 2-замещенных 1,3,2-диоксаборинанов **2**, **3** характеризуется одним минимумом, отвечающим конформеру *софы* (*C* и вырожденная по энергии форма *C*\*), а также одним максимумом, соот-

ветствующим форме 2,5-*твист* (2,5-*T*). Расчетные (ММ+) значения  $\Delta E^\ddagger$  этого процесса не зависят от характера и конформационного объема заместителя у атома бора (Н, ОMe, *i*-Pr, таблица). Аналогичные результаты ранее были получены для 2-фенил-1,3,2-диоксаборинана [20]. Из-за относительно низкой температуры коалесценции экспериментальная оценка значения  $\Delta G^\ddagger$  эфира **3** с помощью низкотемпературной спектроскопии ЯМР  $^1\text{H}$  позволила установить только верхний его предел (<9.0 ккал/моль) [4].



Все исследованные 2,5,5-замещенные борные эфиры **4–28** по конформационному поведению, наглядно отражаемому характером сигнала ЯМР  $^1\text{H}$  метиленовых протонов кольца [4, 18], можно разделить на три группы. Первую составляют вещества с одинаковыми заместителями у атома С-5 (эфиры **4–17**). Синглетный характер сигнала метиленовых протонов кольца в спектрах ЯМР  $^1\text{H}$  при комнатной температуре с полушириной ( $\Delta v$ ), в большинстве случаев не превышающей 0.01–0.03 м. д. (таблица), свидетельствует о быстрой в шкале времени ЯМР инверсии цикла. При понижении температуры образца происходит уширение отмеченного сигнала, однако из-за низкой температуры коалесценции определить экспериментальное значение свободной энергии активации ранее удалось только для эфиров **4** и **5** [15], а также для соединения **10** [1, 18].

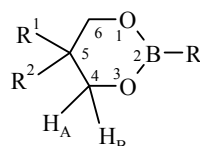
Установленные с помощью метода ММ+ расчетные значения  $\Delta E^\ddagger$  процесса инверсии, идущего, как и в предыдущих случаях, через переходное состояние (ПС) 2,5-*T*, близки к экспериментальным  $\Delta G^\ddagger$ , известным для отдельных соединений. Они возрастают с увеличением массы заместителей и уменьшаются для аллокси- и фенокси-, а также аллилзамещенных аналогов (эфиры **8** и **9**, **11** и **12**, **8** и **15**).

Ко второй группе относятся эфиры **18–23** с различными заместителями у атома С-5; характер сигнала метиленовых протонов кольца при комнатной температуре указывает на инверсию между двумя невырожденными по энергии формами *софи*. В этом случае  $\Delta v = 0.09–0.12$  м. д. (293 К) и, как и для соединений первой группы, заметно возрастает при понижении температуры образца.

Значения  $\Delta E$  для двух конформеров, отвечающих минимумам энергии на ППЭ, укладываются в интервал 0.1–1.4 ккал/моль. Необходимо отметить, что для молекул 5-метил-5-метоксианалога **20** глобальному минимуму, согласно методу MM+, отвечает конформер с аксиальной метоксигруппой; это хорошо согласуется с данными метода ЯМР  $^1\text{H}$  циклических борных эфиров, содержащих аллокси- либо арилоксизаместители у атома С-5 [1, 21, 22].

По данным расчетов, аксиальная этоксикарбонильная группа выгоднее, нежели ацетильная (эфир **18**); во всех случаях более устойчивому конформеру отвечает экваториальная ориентация аллильного заместителя (эфиры **19, 22, 23**). Значения расчетных активационных барьеров для молекул обсуждаемых соединений растут с увеличением массы заместителей. Нетрудно видеть, что степень смещения конформационного равновесия определяется в основном конформационным объемом и электронными свойствами радикалов  $R^1$  и  $R^2$ .

В случае эфиров **24–28** (соединения третьей группы) отмеченные различия становятся достаточными для преимущественного смещения равновесия в сторону одной из форм: сигналы метиленовых протонов кольца проявляются как для обычной АВ-системы [18]. Величина  $\Delta v = 0.20\text{--}0.47$  м. д. и мало зависит от температуры. Для такого равновесия, как и в случае соединений второй группы, характерна относительная выгодность конформеров с аксиальной ориентацией электроно-акцепторных заместителей, в частности, аллокси- (**20, 24, 27**), фенокси- (**26**), фенил- (**25**), этоксикарбонил- (**18**) и нитрогрупп (AM1, STO-3G, **28**) [23].



1–28

Соединение	R	$R^1$	$R^2$	Соединение	R	$R^1$	$R^2$
<b>1</b>	H	H	H	<b>15</b>	<i>i</i> -Pr	O- <i>i</i> -Pr	O- <i>i</i> -Pr
<b>2</b>	OMe	H	H	<b>16</b>	C <sub>2</sub> H <sub>5</sub>	COOMe	COOMe
<b>3</b>	<i>i</i> -Pr	H	H	<b>17</b>	<i>i</i> -C <sub>4</sub> H <sub>9</sub>	COOMe	COOMe
<b>4</b>	OMe	Me	Me	<b>18</b>	<i>i</i> -Pr	CO <sub>2</sub> Et	COMe
<b>5</b>	Et	Me	Me	<b>19</b>	<i>i</i> -Pr	C <sub>3</sub> H <sub>5</sub>	PhCH <sub>2</sub>
<b>6</b>	<i>i</i> -Pr	Me	Me	<b>20</b>	<i>i</i> -Pr	Me	OMe
<b>7</b>	OH	Me	Me	<b>21</b>	<i>i</i> -Pr	Me	<i>i</i> -Pr
<b>8</b>	<i>i</i> -Pr	C <sub>2</sub> H <sub>5</sub>	C <sub>2</sub> H <sub>5</sub>	<b>22</b>	<i>i</i> -Pr	Me	C <sub>3</sub> H <sub>5</sub>
<b>9</b>	<i>i</i> -Pr	C <sub>3</sub> H <sub>5</sub>	C <sub>3</sub> H <sub>5</sub>	<b>23</b>	<i>i</i> -Pr	<i>i</i> -Pr	C <sub>3</sub> H <sub>5</sub>
<b>10</b>	<i>i</i> -Pr	PhCH <sub>2</sub>	PhCH <sub>2</sub>	<b>24</b>	<i>i</i> -Pr	Me	CH <sub>2</sub> OMe
<b>11</b>	<i>i</i> -Pr	Ph	Ph	<b>25</b>	<i>i</i> -Pr	Me	C <sub>6</sub> H <sub>5</sub>
<b>12</b>	<i>i</i> -Pr	OPh	OPh	<b>26</b>	<i>i</i> -Pr	Me	PhO
<b>13</b>	<i>i</i> -Pr	COOMe	COOMe	<b>27</b>	<i>i</i> -Pr	Et	CH <sub>2</sub> OMe
<b>14</b>	<i>i</i> -Pr	CO <sub>2</sub> Et	CO <sub>2</sub> Et	<b>28</b>	<i>i</i> -Pr	NO <sub>2</sub>	Br

#### Характеристики конформационного равновесия эфиров 1–28

Соединение	Метод	Поиск ПС*	$\Delta E^{\ddagger\ddagger}$ , ккал/моль	$\Delta E$ , ккал/моль	Конформер с $\min E^{\ddagger\ddagger}$	$\Delta v$ , м. д. (Т, К)
<b>1</b>	MM+	2-3-4-5	7.3	0	—	—
		3-4-5-6	6.9			
	AM1	C3, PK	3.4			
		STO-3G	6.7			
	3-21G	PK	8.1			
		6-31G	7.8			
	6-31G(d)	PK	7.7			
<b>2</b>		6-31G(d,p)	7.6			
MM+	2-3-4-5	7.3	0	—	—	
	3-4-5-6	6.9				
AM1	C3, PK	2.8				
	STO-3G	7.4				
3-21G	PK	9.1				
	6-31G	8.3				
<b>3</b>	MM+	3-4-5-6	6.9 (<9.0)	0	—	0.01 (293)
<b>4</b>	MM+	3-4-5-6	7.7 (7.0)	0	—	—
<b>5</b>	MM+	3-4-5-6	7.7 (8.0)	0	—	0.01 (293)
		STO-3G	PK			
		3-21G	PK			
		6-31G	PK			
<b>6</b>		3-4-5-6	7.8	0	—	0.01 (293)
<b>7</b>		3-4-5-6	7.7	0	—	0.02 (293)
<b>8</b>		3-4-5-6	9.1	0	—	0.03 (293)
<b>9</b>	MM+	3-4-5-6	7.7	0	—	0.07 (293)
<b>10</b>	MM+	2-3-4-5	9.8 (9.7)	0	—	0.02 (293)
		3-4-5-6	9.5			0.14 (173)
<b>11</b>	MM+	3-4-5-6	9.3	0	—	0.01 (293)
<b>12</b>	MM+	3-4-5-6	8.8	0	—	0.01 (293)
<b>13</b>	MM+	3-4-5-6	9.5	0	—	0.03 (293), 0.14 (173)
<b>14</b>	MM+	3-4-5-6	10.0	0		0.01 (293)
<b>15</b>	MM+	3-4-5-6	8.2	0		0.01 (293)
<b>16</b>	MM+	3-4-5-6	8.3	0		0.02 (293)
<b>17</b>	MM+	3-4-5-6	9.8	0		0.02 (293)
<b>18</b>	MM+	3-4-5-6	10.4	0.5	COMe (e)	0.11 (293)
<b>19</b>	MM+	3-4-5-6	8.8	0.2	C <sub>3</sub> H <sub>5</sub> (e)	0.09 (293)
<b>20</b>	MM+	3-4-5-6	8.8	1.4	Me (e)	0.09 (293)
<b>21</b>	MM+	3-4-5-6	8.7	0.1	i-Pr (e)	0.12 (293)
<b>22</b>	MM+	3-4-5-6	7.7	0.3	C <sub>3</sub> H <sub>5</sub> (e)	0.09 (293)
<b>23</b>	MM+	3-4-5-6	9.7	0.4	C <sub>3</sub> H <sub>5</sub> (e)	0.10 (293), 0.13 (203)
<b>24</b>	MM+	3-4-5-6	7.9	0.1	Me (e)	0.20 (293)
<b>25</b>	MM+	3-4-5-6	9.0	1.4	Me (e)	0.21 (293)
<b>26</b>	MM+	3-4-5-6	9.0	1.9	Me (e)	0.25 (293)
<b>27</b>	MM+	3-4-5-6	7.9	0.3	Et (e)	0.20 (293)
<b>28</b>	AM1	3-4-5-6	9.0	2.2	NO <sub>2</sub> (e)	0.22 (193)
		C3, PK	4.5	2.0	Br (e)	0.47 (293)
	STO-3G	PK	6.3	0.8	Br (e)	0.48 (213)

\* C3 – метод собственных значений, PK – метод реакционных карт.

\*\* Значения экспл.  $\Delta G^{\ddagger}$ , ккал/моль, для соединений **3**, **4** и **10** (по данным [18]) и для соединения **5** (по данным [15]) приведены в скобках.

\*\*\* Ориентация одного из заместителей в наиболее стабильном конформере.

В то же время аллильный заместитель (эфиры **19**, **22**, **23**) ориентирован преимущественно экваториально. При этом значения  $\Delta E^\ddagger$  близки к расчетным для остальных 2,5,5-замещенных 1,3,2-диоксаборинанов.

Полученные результаты дают основание полагать, что ППЭ замещенных циклических борных эфиров в отличие от однотипно замещенных 1,3-диоксанов – конформационно более жестких систем [24–26] – содержит только один максимум и отличаются более низкими значениями барьеров активации.

## ЭКСПЕРИМЕНТАЛЬНАЯ ЧАСТЬ

Маршруты инверсии и барьеры интерконверсии установлены с помощью процедуры сканирования отдельных торсионных углов (3-4-5-6 соответствует минимальному значению  $\Delta E^\ddagger$  – либо 2-3-4-5, MM+), а также в режиме transition state (AM1, *ab initio*) [4, 16, 17, 20] в рамках компьютерного пакета программ HyperChem [19]. Применимость расчетных методов к анализу структурных и энергетических характеристик циклических борных эфиров подробно обсуждалась в работах [27, 28]. Параметры спектров ЯМР  $^1\text{H}$  2,5,5-замещенных 1,3,2-диоксаборинанов представлены в работе [18]. Исследованные соединения описаны в [29].

## СПИСОК ЛИТЕРАТУРЫ

1. А. И. Грень, В. В. Кузнецов, *Химия циклических эфиров борных кислот*, Наукова думка, Киев, 1988, 160 с.
2. D. S. Matteson, D. Majumdar, *Organometallics*, **2**, 230 (1983).
3. P. G. M. Wuts, S. S. Bigelow, *Synth. Commun.*, **12**, 779 (1982).
4. В. В. Кузнецов, Дис. докт. хим. наук, Уфа, 2002.
5. D. S. Matteson, *Tetrahedron*, **45**, 1859 (1989).
6. D. S. Matteson, *Synthesis*, 973 (1986).
7. Y. Kobayashi, K. Watatani, J. Tokoro, *Tetrahedron Lett.*, **39**, 7533 (1998).
8. R. J. Mears, H. De Silva, A. Whiting, *Tetrahedron*, **53**, 17395 (1997).
9. W. Kliegel, *Pharmazie*, **27**, 1 (1972).
10. В. В. Кузнецов, *ЖОХ*, **70**, 71 (2000).
11. В. В. Кузнецов, *ЖОрХ*, **36**, 307 (2000).
12. В. В. Кузнецов, *Изв. AH, Сер. хим.*, 1488 (2005).
13. В. В. Кузнецов, *ЖОХ*, **69**, 417 (1999).
14. В. В. Кузнецов, *XGC*, 643 (2006). [*Chem. Heterocycl. Comp.*, **42**, 559 (2006)].
15. D. Carton, A. Pontier, M. Ponet, J. Soulie, P. Cadot, *Tetrahedron Lett.*, 2333 (1975).
16. В. В. Кузнецов, А. Н. Новиков, *XGC*, 295 (2003). [*Chem. Heterocycl. Comp.*, **39**, 263 (2003)].
17. О. Ю. Валиахметова, С. А. Бочкор, В. В. Кузнецов, *Современные научоемкие технологии*, № 2, 72 (2006).
18. А. И. Грень, В. В. Кузнецов, К. С. Захаров, *XGC*, 558 (1986). [*Chem. Heterocycl. Comp.*, **22**, 459 (1986)].
19. HyperChem 5.02. Trial version. www.hyper.com.
20. О. Ю. Валиахметова, С. А. Бочкор, В. В. Кузнецов, *Башкир. хим. журн.* **11**, 79 (2004).
21. F. Nakatsubo, T. Higuchi, *Holzforschung*, **29**, 193 (1975).
22. H. Matsubara, T. Tanaka, Y. Takai, M. Sawada, K. Seto, H. Imazaki, S. Takahashi, *Bull. Chem. Soc. Jpn*, **64**, 2103 (1991).
23. В. В. Кузнецов, С. А. Бочкор, *XGC*, 1065 (1999). [*Chem. Heterocycl. Comp.*, **35**, 935 (1999)].
24. А. Е. Курамшина, А. А. Файзуллин, С. А. Бочкор, В. В. Кузнецов, *Башкир. хим. журн.*, 1864

- 11**, 81 (2004).
- 25. Е. Г. Мазитова, А. Е. Курамшина, В. В. Кузнецов, *ЖОрХ*, **40**, 615 (2004).
  - 26. А. Е. Курамшина, С. А. Бочкор, В. В. Кузнецов, *Фундаментальные исследования*, 87 (2006).
  - 27. В. В. Кузнецов, *Журн. структур. химии*, **42**, 591 (2001).
  - 28. О. Ю. Валиахметова, С. А. Бочкор, В. В. Кузнецов, *Современные научоемкие технологии* № 2, 71 (2006).
  - 29. В. В. Кузнецов, Физико-химический ин-т АН УССР, Одесса, 1983. Деп. в ВИНИТИ 14.10.83, № 5646-83.

Уфимский государственный нефтяной  
технический университет, Уфа 450062  
e-mail: kuzmaggy@mail.ru

Поступило 14.02.2007